

Quelles lois constitutives pour la modélisation viscoplastique des milieux granulaires ?

F. Bouchut¹

¹*LAMA, CNRS & Université Paris-Est-Marne-la-Vallée*

Journées Défis en Géosciences, Paris juin 2019

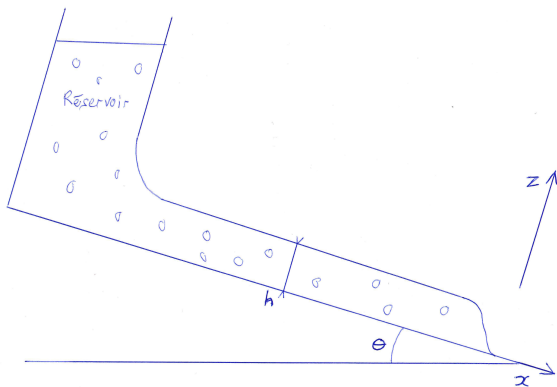


- 1 *Écoulements granulaires de laboratoire et rhéologie $\mu(I)$*
- 2 *Modèles viscoplastiques incompressibles*
- 3 *Nécessité de modèles viscoplastiques compressibles*

I. Ecoulements granulaires de laboratoire et rhéologie $\mu(I)$

Matériau granulaire sec (pas de fluide interstitiel)

Pouliquen 1999, Pouliquen-Forterre 2002. Lâcher de matériau granulaire (billes de verre) sur un plan incliné d'angle θ .

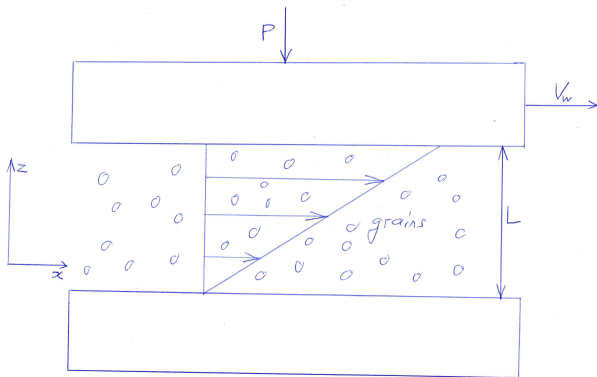


Pour quels h , θ observe-t-on un **écoulement uniforme** selon la direction x de l'écoulement ?

▷ Il faut que $h \geq h_{stop}(\theta)$, et $\theta \geq \theta_{min}$.

Andreotti-Forterre-Pouliquen "Les milieux granulaires, entre fluide et solide", 2011, p.232.

On force un écoulement $\mathbf{u} = (u(z), 0)$ avec $u(z)$ linéaire en z .



Pression P imposée sur la plaque supérieure, qui est de plus entraînée à vitesse V_w . La plaque inférieure est fixe. Epaisseur fixée L . Le taux de cisaillement est constant

$$\frac{du}{dz} \equiv \dot{\gamma} = \frac{V_w}{L}.$$

Absence de gravité, donc les équations de l'équilibre donnent $d\sigma_{xz}/dz = 0$, $d\sigma_{zz}/dz = 0$, σ_{xz} et σ_{zz} sont constants, $\sigma_{zz} = -P$, mais la valeur de la contrainte de cisaillement σ_{xz} reste à déterminer.

- ▷ On suppose les grains très rigides
- ▷ On suppose $L/d \gg 1$, où d est le diamètre des grains.
- ▷ Il reste 4 paramètres indépendants d , ρ , $\dot{\gamma}$, P , qui impliquent uniquement 3 dimensions : longueur, masse, temps.
- ▷ On en déduit (théorème Π , Barenblatt 1996) que le système est contrôlé par un unique nombre sans dimension

$$I = \frac{\dot{\gamma}d}{\sqrt{P/\rho}}.$$

C'est le **nombre inertiel**.

- ▷ En particulier il existe des relations ne dépendant que du matériau

$$\frac{\sigma_{xz}}{-\sigma_{zz}} = \mu(I), \quad \phi = \phi(I).$$

▷ Interprétation :

$$I = \frac{t_{micro}}{t_{macro}}, \quad t_{micro} = \frac{d}{\sqrt{P/\rho}}, \quad t_{macro} = 1/\dot{\gamma}.$$

t_{micro} est le temps caractéristique de réarrangement entre les grains.

t_{macro} est le temps caractéristique de déformation macroscopique du matériau.

Le nombre I caractérise la dynamique du matériau granulaire :

$I < 10^{-3}$	$10^{-3} < I < 10^{-1}$	$10^{-1} < I$
solide/quasistatique	liquide	gaz

- ▷ Si on suppose que les relations rhéologiques

$$\frac{\sigma_{xz}}{-\sigma_{zz}} = \mu(I), \quad I = \frac{\dot{\gamma}d}{\sqrt{P/\rho}}$$

sont toujours vraies localement (c'est ce qu'on appelle **la rhéologie $\mu(I)$**) et qu'on les applique aux écoulements uniformes sous gravité, on a les valeurs moyennes $\bar{P} = \rho\phi g \cos\theta h/2$, $\bar{u} \simeq \dot{\gamma}h/2$, on retrouve que μ ne dépend que de $\bar{u}d/h\sqrt{gh}$.

- ▷ Si on applique cette rhéologie sur l'écoulement uniforme sous gravité sans intégrer en z on trouve $\mu(I) = -\sigma_{xz}/\sigma_{zz} = \tan\theta$ donc

$$I = \mu^{-1}(\tan\theta)$$

est indépendant de z . Avec la relation $-\sigma_{zz} = P = \rho\phi g \cos\theta(h-z)$ et $\dot{\gamma} = du/dz$ on trouve

$$\frac{du}{dz} = \frac{I}{d} \sqrt{\phi g \cos\theta(h-z)},$$

$$\frac{u(z)}{\sqrt{gd}} = \frac{2}{3} I \sqrt{\phi \cos\theta} \frac{h^{3/2} - (h-z)^{3/2}}{d^{3/2}}.$$

C'est le **profil de Bagnold**.

- ▷ Une forme reconnue pour μ est

$$\mu(I) = \mu_s + \frac{\mu_2 - \mu_s}{1 + I_0/I},$$

avec $0 < \mu_s < \mu_2$, et $I_0 \sim 0.3$. Donc $\mu(I)$ varie entre deux valeurs μ_s et μ_2 . Pour inverser la relation et trouver $I = \mu^{-1}(\tan \theta)$ il faut donc

$$\mu_s < \tan \theta < \mu_2.$$

C'est la condition pour laquelle le modèle analytique avec la rhéologie locale admet des écoulements stationnaires uniformes.

- ▷ Cette théorie donne donc $\theta_{stop}(h) = \mu_s$ indépendant de h , ce qui ne correspond pas aux expériences !

II. Modèles viscoplastiques incompressibles

- ▷ On part d'une modélisation dynamique classique

$$\rho\phi(\partial_t u + u \cdot \nabla u) - \operatorname{div} \sigma = \phi f,$$

avec σ le tenseur des contraintes (matrice symétrique). On peut décomposer

$$\sigma = -p \operatorname{Id} + \sigma', \quad \operatorname{tr} \sigma' = 0,$$

avec p la pression (effective), et σ' le déviateur des contraintes, noté parfois τ .

- ▷ Pour un modèle incompressible on a

$$\operatorname{div} u = 0, \quad \phi = \text{cste},$$

et σ' est à définir. p est un multiplicateur de Lagrange pour la contrainte $\operatorname{div} u = 0$.

- ▷ Pour un modèle compressible on a

$$\partial_t \phi + \operatorname{div}(\phi u) = 0,$$

et σ (ou de façon équivalente p et σ') est à définir.

- ▷ Un modèle newtonien incompressible est

$$\sigma' = 2\eta Du,$$

avec $Du = (\nabla u + (\nabla u)^t)/2$ le taux de déformation, et $\eta = \eta(\phi)$ la viscosité.

- ▷ Un modèle newtonien compressible est

$$\sigma = -p_0(\phi) \operatorname{Id} + 2\eta Du + \lambda \operatorname{Id} \operatorname{div} u,$$

où $p_0(\phi)$ est la pression thermodynamique, $\eta(\phi)$ et $\lambda(\phi)$ les coefficients de viscosité.

- ▷ Un modèle **viscoplastique** est défini par une rhéologie de la forme

$$\sigma \text{ fonction de } \phi, Du \text{ (compressible),}$$

$$\sigma' \text{ fonction de } \phi, Du, \text{ éventuellement } p, \text{ (incompressible).}$$

- ▷ Dans les écoulements de laboratoire présentés on a $\operatorname{div} \mathbf{u} = \operatorname{div}(u(z), 0) = 0$. Cela amène naturellement à une modélisation dynamique incompressible.
- ▷ On considère maintenant le **modèle incompressible défini par la rhéologie $\mu(I)$ locale** :

$$\sigma' = \mu(I)p \frac{Du}{|Du|},$$

avec $|Du|^2 = (\sum_{ij} Du_{ij}^2)^{1/2}$ et

$$I = \frac{2d|Du|}{\sqrt{\rho/\rho}}.$$

C'est la généralisation tensorielle du modèle à cisaillement simple puisque $|\sigma'| = \mu(I)p$.

- ▷ Le gros problème de la rhéologie incompressible $\sigma' = 2\eta Du$ où η dépend de p est qu'elle est en général **mal posée** !
- ▷ Pour la rhéologie $\mu(I)$ incompressible, **Barker et al. 2015** ont montré si on prend une solution de référence régulière et qu'on fait une perturbation locale à nombre d'onde très grand, **le problème linéarisé est mal posé** (de type chaleur rétrograde), ceci pour une large plage de valeurs de I (pour I petit et pour I grand).
- ▷ Lorsqu'on raffine dans les simulations numériques, on voit apparaître des **"bandes de cisaillement"**, qui deviennent d'autant plus fines que le maillage est fin (**Martin & al. 2017**).
- ▷ La rhéologie $\mu(I)$ a les bonnes échelles physiques, mais pas la bonne structure algébrique-différentielle.

- ▷ Peut-il y avoir une formulation variationnelle pour un problème incompressible ?
- ▷ Une façon d'en écrire une est

$$\alpha u - \operatorname{div} \sigma' + \nabla p = f, \quad \operatorname{div} u = 0,$$

avec $\alpha > 0$ et une rhéologie

$$\sigma' \in \partial F(Du),$$

où la non-linéarité est

$$F : \mathbb{M}_{N \times N}^{s0}(\mathbb{R}) \longrightarrow \mathbb{R} \cup \{\infty\} \text{ convexe sci non identiquement } \infty.$$

- ▷ De façon explicite, F est définie sur l'espace des matrices symétriques $N \times N$ de trace nulle. Le **sous-différentiel** est défini par

$$\partial F(D') = \{ \sigma' \text{ tels que } \forall A \ F(A) \geq F(D') + \sigma' : (A - D') \}.$$

Ici, “:” représente le produit scalaire des matrices.

- ▷ Le problème est alors **bien posé** et on a de **bonnes méthodes d'approximation numérique**.

▷ Exemple : Bingham

$$F(D') = \kappa |D'|.$$

On a alors

$$\partial F(D') = \begin{cases} \kappa \frac{D'}{|D'|} & \text{si } D' \neq 0, \\ \bar{B}_{M^{s0}}(0, \kappa) & \text{si } D' = 0. \end{cases}$$

κ est le seuil de contraintes. Lorsqu'on a la relation $\sigma' \in \partial F(Du)$,

- $|\sigma'| \leq \kappa \rightarrow Du$ peut être nul,
- $|\sigma'| > \kappa \rightarrow Du$ doit être non nul.

Le fluide peut être à l'arrêt (ou plus généralement avoir $Du = 0$ ie un mouvement solide) avec des contraintes σ' non nulles (c'est le cas pour les écoulements uniformes si $\theta < \theta_{min}$). **C'est un fluide à seuil.**

▷ Exemple : Herschel-Bulkley

$$F(D') = \frac{\kappa}{1+n} |D'|^{1+n} + \kappa |D'|.$$

▷ F n'est pas différentiable à l'origine, cela permet au matériau de pouvoir se comporter comme un solide (contraintes sous le seuil) ou comme un liquide/gaz (contraintes au dessus du seuil).

▷ Condition de dissipation

$$\partial F(0) \ni 0.$$

Propriété de monotonie du sous-différentiel des fonctions convexes :

$$\sigma_1 \in \partial F(D_1), \sigma_2 \in \partial F(D_2) \Rightarrow (\sigma_2 - \sigma_1) : (D_2 - D_1) \geq 0.$$

En particulier la condition de dissipation implique

$$\sigma \in \partial F(Du) \implies \sigma : Du \geq 0,$$

et la dissipation d'énergie est bien positive,

il y a consistance thermodynamique

▷ Peut-on mettre la loi $\mu(I)$ sous la bonne forme $\sigma \in \partial F(Du)$ avec F convexe ?

Non, les échelles imposées empêchent la convexité,

et plus généralement empêchent la propriété de monotonie écrite ci-dessus.

III. Nécessité de modèles viscoplastiques compressibles pour les matériaux granulaires

- ▷ [Barker & al. 2017](#), [Heyman & al. 2017](#) : un modèle " $\mu(I)$ compressible" peut être bien posé linéairement, contrairement au cas incompressible.
- ▷ [Bouchut & al. 2016](#) : pour avoir les effets de dilatance il faut un modèle compressible.
- ▷ Essai de modélisation compressible (sans élasticité)

$$\begin{aligned}\partial_t \phi + \operatorname{div}(\phi u) &= 0, \\ \rho \phi (\partial_t u + u \cdot \nabla u) &= \operatorname{div} \sigma + \phi f,\end{aligned}$$

avec ϕ fraction volumique, u vitesse, ρ masse volumique (constante).

- ▷ Loi rhéologique

$$\sigma \in \partial \Psi(\phi, s, Du),$$

avec $\Psi(\phi, s, D)$ potentiel viscoplastique, convexe par rapport à D (D est aussi souvent noté $D = \dot{\epsilon}$). Le sous-différentiel est pris par rapport à D .

- ▷ Compatibilité thermodynamique

$$\partial \Psi(\phi, s, 0) \ni -p_0(\phi, s) \operatorname{Id},$$

où $p_0(\phi, s)$ est la loi de pression qui vérifie une identité thermodynamique

$$de_0 = -\frac{p_0}{\rho} d\left(\frac{1}{\phi}\right) + T ds,$$

où $e_0(\phi, s)$ est l'énergie spécifique, $T(\phi, s) > 0$ la température.

- ▷ On peut écrire $\sigma = -p \operatorname{Id} + \sigma'$, $\operatorname{tr}(\sigma') = 0$. p est la pression effective, qu'on mesure.

- ▷ On complète les deux équations de conservation de masse et quantité de mouvement par une équation d'énergie

$$\partial_t(\rho\phi\frac{|u|^2}{2} + \rho\phi e_0) + \operatorname{div}(\rho\phi\frac{|u|^2}{2}u + \rho\phi e_0u) = \operatorname{div}(\sigma u) + \operatorname{div}(\kappa\nabla T) + \phi f \cdot u.$$

- ▷ Des trois lois de conservation on déduit l'identité d'entropie

$$\partial_t(\rho\phi s) + \operatorname{div}(\rho\phi su) - \frac{1}{T}(\sigma : Du + p_0 \operatorname{tr}(Du)) - \operatorname{div}\left(\kappa\frac{\nabla T}{T}\right) - \kappa\frac{|\nabla T|^2}{T^2} = 0.$$

La compatibilité thermodynamique implique

$$\sigma : Du + (p_0 \operatorname{Id}) : Du \geq 0,$$

donc l'équation d'entropie a un terme source signé.

- ▷ Invariance par changement de référentiel : $\Psi(\phi, s, D)$ ne dépend que de ϕ , s et de $\operatorname{tr}(D^k)$, $k = 1, \dots, N$. On peut décomposer

$$D = \frac{\operatorname{tr}(D)}{N} \operatorname{Id} + D', \quad \operatorname{tr}(D') = 0.$$

C'est une décomposition orthogonale car $0 = \operatorname{tr}(D') = D' : \operatorname{Id}$. Alors $\operatorname{tr}(D^2) = |D|^2 = |D'|^2 + \operatorname{tr}(D)^2/N$.

Donc en 2d Ψ ne dépend que de $\operatorname{tr}(D)$ et de $|D'|$.

En 3d Ψ peut en plus dépendre de $\det(D)$.

- ▷ Exemple : fluide newtonien

$$\Psi(\phi, s, D) = -p_0(\phi, s) \operatorname{tr} D + \eta(\phi, s) \frac{|D|^2}{2} + \lambda(\phi, s) \frac{(\operatorname{tr} D)^2}{2}.$$

On a $\partial\Psi(\phi, s, 0) = \{-p_0(\phi, s) \operatorname{Id}\}$, la compatibilité thermodynamique est vérifiée.

- ▷ Une loi est "purement plastique" (ie sans viscosité) si Ψ est homogène de degré 1, ie

$$\forall \lambda > 0 \quad \Psi(\lambda D) = \lambda \Psi(D).$$

Alors $\partial\Psi$ est homogène de degré 0, donc la loi $\sigma \in \partial\Psi(\phi, s, D)$ ne dépend (pour $D \neq 0$) que de $D/|D|$, et pas de $|D|$. On dit aussi qu'elle est "rate independent".

- ▷ Exemple de loi purement plastique :

$$\Psi(\phi, s, D) = -p_0(\phi, s) \operatorname{tr}(D) + \mu_s p_0(\phi, s) |D'|,$$

avec μ_s constant (ou dépendant de ϕ, s).

▷ Exemple : modèle Drucker dilatant (Andreotti-Forterre-Pouliquen p.158)

$$\Psi = p_0 (\sin \psi |D'| - \text{tr}(D))_+.$$

Alors pour $D' \neq 0$

$$\partial_D \Psi = p_0 \mathbf{1}_{\text{tr}(D) \leq \sin \psi |D'|} \left(\sin \psi \frac{D'}{|D'|} - \text{Id} \right),$$

donc

$$p = p_0 \mathbf{1}_{\text{tr}(D) \leq \sin \psi |D'|}, \quad \sigma' = p_0 \sin \psi \mathbf{1}_{\text{tr}(D) \leq \sin \psi |D'|} \frac{D'}{|D'|} = \sin \psi p \frac{D'}{|D'|}.$$

On retrouve une loi de type Drucker-Prager (compressible), mais avec $\sin \psi$ constant (pas de viscosité). On remarque que p est toujours positif ou nul (c'est le cas dans tous les modèles écrits ici). On a

$$\partial \Psi(0) = \{ \sigma \mid \sigma = p_0 \alpha (\sin \psi V - \text{Id}), \text{ avec } |V| \leq 1, \text{ tr}(V) = 0, 0 \leq \alpha \leq 1 \}.$$

On a bien la compatibilité thermodynamique $\partial \Psi(0) \ni -p_0 \text{Id}$.

▷ Les modèles de la **théorie cinétique étendue** (Jenkins et al.) donnent des formules (compliquées) pour σ (en termes de ϕ , T , Du). Est-ce qu'elles s'écrivent sous la forme $\partial\Psi$?

▷ Barker et al. 2017 écrivent une loi sous la forme

$$\sigma' = Y(p, \phi, I) \frac{D'}{|D'|}, \quad \text{div } u \equiv \text{tr}(D) = 2f(p, \phi, I)|D'|,$$

avec toujours $\sigma = -p\text{Id} + \sigma'$ et $\text{tr}(\sigma') = 0$. Ils soutiennent qu'on doit avoir

$$\frac{\partial Y}{\partial p} - \frac{I}{2p} \frac{\partial Y}{\partial I} = f + I \frac{\partial f}{\partial I}.$$

Quel est le sens et l'interprétation de cette relation ?

▷ Exemple : le modèle **Cam-Clay**

$$\psi = \frac{p_0}{2} \frac{\sin \delta |D'|}{Y + \sqrt{1 + Y^2}}, \quad \text{avec } Y = \frac{\text{tr}(D)}{|D'| \sin \delta}.$$

Alors on vérifie que p vérifie $0 \leq p \leq p_0$, et p est déterminé par l'équation

$$\frac{\text{tr}(D)}{|D'|} = \frac{1}{2} \sin \delta \frac{p_0/p - 2}{\sqrt{p_0/p - 1}},$$

tandis que σ' est donné par

$$\sigma' = \sin \delta p \sqrt{p_0/p - 1} \frac{D'}{|D'|}.$$

▷ On a un effet de **dilatance** :

$$\text{tr}(D) \geq 0 \text{ pour } p \leq p_0/2, \quad \text{tr}(D) \leq 0 \text{ pour } p \geq p_0/2.$$

On dit que $p_0/2$ est la **pression critique** (et rappelons que $p_0 = p_0(\phi, s)$).

▷ C'est encore un modèle purement plastique (sans viscosité).

▷ **Dilatance pour une loi générale.** Pour une loi générale Ψ , par la relation $\sigma \in \partial\Psi(D)$, décomposant $D = (\text{tr } D, D')$ on déduit (là où Ψ est différentiable) les lois $p(\text{tr } D, D')$ et $\sigma'(\text{tr } D, D')$. On peut alors définir

$$p_c(D') = -p(\text{tr } D = 0, D').$$

Comme Ψ est convexe, $p = -\partial\Psi/\partial(\text{tr } D)$ est décroissante par rapport à $\text{tr } D$. On en déduit

$$\begin{aligned} \text{div } u = \text{tr } D > 0 &\Leftrightarrow p < p_c(D'), \\ \text{tr } D < 0 &\Leftrightarrow p > p_c(D'). \end{aligned}$$

Les modèles purement plastiques. Pour les modèles purement plastiques (Ψ homogène de degré 1), on a des propriétés particulières.

- ▷ En chaque D pour lequel Ψ est différentiable en D , $\sigma = \partial_D \Psi$ ne dépend que de $D/|D|$, il reste donc dans une sous-variété de codimension 1.
- ▷ En chaque D pour lequel Ψ est différentiable en D , une petite variation δD de D induit une variation $\delta\sigma$ de σ , qui vérifie

$$\delta\sigma : D = 0.$$

On dit que la rhéologie est "**associée**". La déformation est normale à la variété où vit σ .

- ▷ La démonstration est la suivante. Ψ est homogène de degré 1

$$\Psi(\lambda D) = \lambda \Psi(D).$$

Dérivant par rapport à D on trouve

$$\partial_D \Psi(\lambda D) = \partial_D \Psi(D),$$

ie $\partial_D \Psi$ est homogène de degré 0. Dérivant ensuite par rapport à λ on trouve

$$\partial_{DD}^2 \Psi(\lambda D) D = 0.$$

Prenant $\lambda = 1$ et notant que $\partial_{DD}^2 \Psi(D) = \delta\sigma$, on obtient le résultat.

Conclusion

- ▷ Les lois rhéologiques incompressibles sont insuffisantes à la fois pour des raisons de modélisation et des raisons mathématiques
- ▷ Plusieurs formes de lois rhéologiques compressibles sont proposées dans la littérature.
- ▷ Il faut trouver la bonne loi qui incorpore autant que possible les échelles de la loi $\mu(I)$!

- [1] O. Pouliquen, Scaling laws in granular flows down rough inclined planes, *Phys. Fluids* 11, 542, 1999, <http://dx.doi.org/10.1063/1.869928>
- [2] O. Pouliquen, Y. Forterre, Friction law for dense granular flows : Application to the motion of a mass down a rough inclined plane, *J. Fluid Mech.* 453, 133-151, 2002, <http://dx.doi.org/10.1017/S0022112001006796>
- [3] B. Andreotti, Y. Forterre, O. Pouliquen, *Les milieux granulaires, entre fluide et solide*, EDP sciences et CNRS éditions, collection savoirs actuels, 2011.
- [4] T. Barker, D.G. Schaeffer, P. Bohorquez, J.M.N.T. Gray, Well-posed and ill-posed behaviour of the $\mu(I)$ -rheology for granular flow, *J. Fluid Mech.* 779, 794-818, 2015, <http://dx.doi.org/10.1017/jfm.2015.412>
- [5] N. Martin, I.R. Ionescu, A. Mangeney, F. Bouchut, M. Farin, Continuum viscoplastic simulation of a granular column collapse on large slopes : $\mu(I)$ rheology and lateral wall effects, *Phys. Fluids* 29, 013301, 2017, <http://dx.doi.org/10.1063/1.4971320>
- [6] H. Brézis, *Opérateurs maximaux monotones et semi-groupes de contractions dans les espaces de Hilbert*, North-Holland Publishing Co., Amsterdam, 1973. North-Holland Mathematics Studies, No. 5. Notas de Matemática (50).

- [7] G. Duvaut and J.-L. Lions, Inequalities in mechanics and physics, Springer-Verlag, Berlin, 1976. Translated from the French by C. W. John, Grundlehren der Mathematischen Wissenschaften, 219.
- [8] R. Glowinski, J.-L. Lions, and R. Trémolières, Numerical analysis of variational inequalities, volume 8 of Studies in Mathematics and its Applications. North-Holland Publishing Co., Amsterdam, 1981. Translated from the French.
- [9] R. Temam, Problèmes mathématiques en plasticité, volume 12 of Méthodes Mathématiques de l'Informatique. Gauthier-Villars, Montrouge, 1983.
- [10] R. Glowinski, Numerical methods for nonlinear variational problems, Springer 2008 (reprint from the 1984 edition).
- [11] H. Brézis, Monotonicity in Hilbert spaces and some applications to nonlinear partial differential equations, 101-156, in "Contributions to nonlinear functional analysis", ed. by E. Zarantonello, Academic, New-York, 1971.
- [12] M. Fortin, R. Glowinski, Studies in Mathematics and its Applications 15(C), 1983.

- [13] P. Saramito, N. Roquet, An adaptive finite element method for viscoplastic fluid flows in pipes, *Comput. Methods Appl. Mech. Engrg.* 190, 5391-5412, 2001, [http://dx.doi.org/10.1016/S0045-7825\(01\)00175-X](http://dx.doi.org/10.1016/S0045-7825(01)00175-X)
- [14] D. Bresch, E. D. Fernández-Nieto, I. R. Ionescu, P. Vigneaux, Augmented Lagrangian method and compressible visco-plastic flows : applications to shallow dense avalanches. In *New directions in mathematical fluid mechanics*, *Adv. Math. Fluid Mech.*, 57-89. Birkhäuser Verlag, Basel, 2010.
- [15] E. D. Fernández-Nieto, J. M. Gallardo, P. Vigneaux, Efficient numerical schemes for viscoplastic avalanches. Part 1 : The 1D case. *J. Comput. Phys.* 264, 55-90, 2014, <http://dx.doi.org/10.1016/j.jcp.2014.01.026>
- [16] P. Saramito, A damped Newton algorithm for computing viscoplastic fluid flows, *J. Non-newtonian fluid mechanics* 238, 6-15, 2016, <http://dx.doi.org/10.1016/j.jnnfm.2016.05.007>
- [17] P. Saramito, A. Wachs, Progress in numerical simulation of yield stress fluid flows, *Rheologica Acta* 56, 211-230, 2017, <http://dx.doi.org/10.1007/s00397-016-0985-9>

- [18] F. Bouchut, R. Eymard, A. Prignet, Convergence of conforming approximations for inviscid incompressible Bingham fluid flows and related problems, *J. Evolution Eq.*, 14, 635-669, 2014. <http://dx.doi.org/10.1007/s00028-014-0231-9>
- [19] Chambolle, T. Pock, An introduction to continuous optimization for imaging, *Acta Numerica*, 161-319, 2016, <http://dx.doi.org/10.1017/S096249291600009X>
- [20] A. Chambolle, T. Pock, A first-order primal-dual algorithm for convex problems with applications to imaging, *J. Math. Imaging and Vision* 40, 120-145, 2011, <http://dx.doi.org/10.1007/s10851-010-0251-1>
- [21] E.J. Dean, R. Glowinski, G. Guidoboni, On the numerical simulation of Bingham visco-plastic flow : Old and new results, *J. Non-newtonian Fluid Mech.* 142, 36-62, 2007, <http://dx.doi.org/10.1016/j.jnnfm.2006.09.002>
- [22] L. Chupin, T. Dubois, A bi-projection method for Bingham type flows, *Computers and Mathematics with Applications* 72, 1263-1286, 2016, <http://dx.doi.org/10.1016/j.camwa.2016.06.026>

- [23] C. Lusso, A. Ern, F. Bouchut, A. Mangeney, M. Farin, O. Roche, Two-dimensional simulation by regularization of free surface viscoplastic flows with Drucker-Prager yield stress and application to granular collapse, *J. Comput. Phys.* 333, 387-408, 2017, <http://dx.doi.org/10.1016/j.jcp.2016.12.036>
- [24] T. Barker, D.G. Schaeffer, M. Shearer, J.M.N.T. Gray, Well-posed continuum equations for granular flow with compressibility and $\mu(I)$ rheology, *Proc. Royal Soc. A* 473, 20160846, 2017, <http://dx.doi.org/10.1098/rspa.2016.0846>
- [25] J. Heyman, R. Delannay, H. Tabuteau, A. Valance, Compressibility regularizes the $\mu(I)$ -rheology for dense granular flows, preprint 2017.
- [26] F. Bouchut, E.D. Fernandez-Nieto, A. Mangeney, G. Narbona-Reina, A two-phase two-layer model for fluidized granular flows with dilatancy effects, *J. Fluid Mech.* 801, 166-221, 2016. <http://dx.doi.org/10.1017/jfm.2016.417>